

(792) ($\alpha + \beta$) 型チタン合金の水素脆性に及ぼす時効析出 α および結晶粒径の影響

豊橋技術科学大学 工学部 新家光雄 大学院○鈴木賀治
工学部 小林俊郎

1. 緒言

Ti-6Al-4V および Ti-6Al-2Sn-4Zr-6Mo 合金などの ($\alpha + \beta$) 型チタン合金は、水素吸収によって脆化することが知られており、この水素脆化挙動については、いまだ充分に解明されていない。そこで、前報までに、これらの合金の水素脆化挙動に及ぼす種々の熱処理の影響を調べ、ミクロ組織因子との関係を検討したが、水素脆化挙動には析出 α および初析 α が大きく影響を及ぼすことがわかり、特に溶体化後水冷した場合には、時効析出 α が大きく影響することを認めた。そこで、本研究では、時効時間を種々変化させることによって、時効析出 α の量を変化させ、水素脆化挙動に及ぼす時効析出 α の影響をより詳細に検討するとともに、初析 α および旧 β 等の粒径を変化させ、水素脆化挙動に及ぼす結晶粒径の影響についても検討した。

2. 実験方法

供試材には、Ti-6Al-4V 合金熱延板および Ti-6Al-2Sn-4Zr-6Mo 合金鍛造丸棒を用いた。これらの試料から $(4 \times 12 \times 65) \times 10^{-3} \text{ m}$ の試験片を加工し、($\alpha + \beta$) および β 域において 3.6ks 溶体化後水冷し、813K(Ti-6・4)あるいは863K(Ti-6・2・4・6)にて種々の時間時効処理した。また、結晶粒径を変化させる試料では、溶体化時間を種々変化させ、溶体化後 813K × 14.4ks あるいは 863K × 21.6ks の時効処理を施した。以上の熱処理材から V ノッチ付試験片 ($(2 \times 10 \times 65) \times 10^{-3} \text{ m}$) を機械加工し、陰極電解法 ($1 \text{ NH}_2\text{SO}_4, 313 \text{ K}, 500 \text{ A/m}^2$) により種々の時間水素添加を行った後、10 分以内に計装化シャルピー衝撃試験を行った。試験で得られた各吸収エネルギーおよび最大破壊荷重から公称き裂発生エネルギーの減少率 (r_t)、公称き裂伝播エネルギーの減少率 (r_p)、全吸収エネルギーの減少率 (r_f) および最大破壊荷重の減少率 (r_i) を算出した。破断後の試験片については、SEMによる破面観察、TEMによる組織観察を行った。

3. 実験結果

(1) Fig.1 に Ti-6Al-2Sn-4Zr-6Mo 合金での例を示すように、($\alpha + \beta$) 域で溶体化した場合 (ミクロ組織は、等軸組織を呈する)、溶体化後の時効時間が長いほど、すなわち、時効析出 α の量が多いほど、水素脆化率 (r_i, r_p, r_f および r_t) が高くなる傾向が認められた。

(2) Fig.2 に Ti-6Al-2Sn-4Zr-6Mo 合金での例を示すように、($\alpha + \beta$) 域で溶体化した場合 (等軸組織)、溶体化時間の長短、すなわち、結晶粒径の大きさを変化させても、水素脆化率には明確な変化が認められなかった。

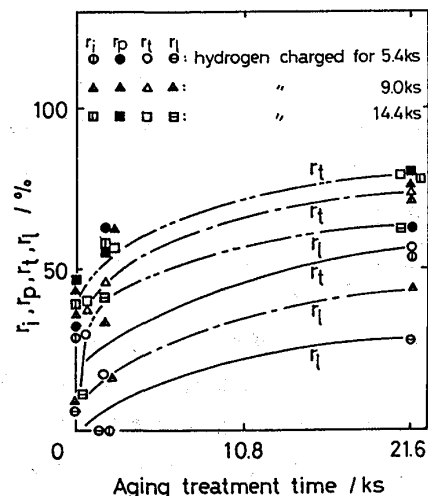


Fig.1 Effect of aging treatment time on r_i, r_p, r_t and r_f in the case of equiaxed a structural specimen (Ti-6Al-2Sn-4Zr-6Mo alloy).

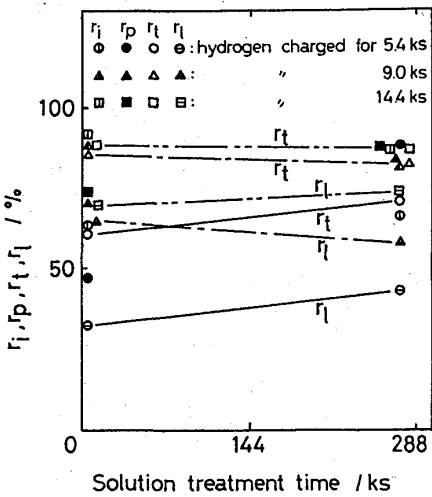


Fig.2 Effect of solution treatment time on r_i, r_p, r_t and r_f in the case of equiaxed a structural specimen (Ti-6Al-2Sn-4Zr-6Mo alloy).